

姜黄中 3 个新的没药烷型倍半萜类化合物

张莹莹¹, 张 萱¹, 李文春², 陈绍田², 陈 佳^{1*}

1. 云南中医药大学 云南省傣医药与彝医药重点实验室, 云南 昆明 650500

2. 云南中医药大学中药学院, 云南 昆明 650500

摘要: 目的 研究姜黄 *Curcuma longa* 根部的化学成分。方法 采用硅胶柱色谱、Sephadex LH-20 凝胶柱色谱和 HPLC 等色谱技术进行分离纯化, 通过理化性质与波谱数据分析鉴定结构。结果 从姜黄根部热水提取部位中分离得到 10 个化合物, 分别鉴定为姜黄酮 G (1)、姜黄酮 H (2)、11-羟基-红没药-1,3(15),9-三烯 (3)、香草醇 (4)、甜没药姜黄醇 (5)、甜没药姜黄醇 B (6)、intermedin B (7)、longpene C (8)、3-(4-羟基-3-甲氧基苯基)丙烷-1,2-二醇 (9)、(±)-松脂醇 (10)。结论 化合物 1~3 为新化合物, 其中化合物 1 和 2 互为差向异构体; 化合物 9、10 为首次从姜黄中分离得到。

关键词: 姜黄; 姜黄酮 G; 姜黄酮 H; 11-羟基-红没药-1,3(15),9-三烯; (±)-松脂醇

中图分类号: R284.1 文献标志码: A 文章编号: 0253 - 2670(2023)14 - 4420 - 07

DOI: 10.7501/j.issn.0253-2670.2023.14.002

Three new bisabolene-type sesquiterpenoid from *Curcuma longa*

ZHANG Ying-ying¹, ZHANG Xuan¹, LI Wen-chun², CHEN Shao-tian², CHEN Jia¹

1. Yunnan Key Laboratory of Dai and Yi Medicines, Yunnan University of Chinese Medicine, Kunming 650500, China;

2. College of Traditional Chinese medicine, Yunnan University of Chinese Medicine, Kunming 650500, China

Abstract: Objective To study the chemical constituents of hot water extraction from the root of *Curcuma longa*. **Methods** The various chromatographic techniques, such as macro-porous resin, silica gel column chromatographic and semi-prep HPLC were used isolate and purify compounds from the hot water extraction of *C. longa* root. The structures of these compounds were identified by analysis of physicochemical property and spectroscopic data. **Results** Ten compounds were isolated and identified as turmerones G (1), turmerones H (2), 11-hydroxy-bisabola-1,3(15),9-triene (3), vanillyl alcohol (4), bisacurone (5), bisacurone B (6), intermedin B (7), longpene C (8), 3-(4-hydroxy-3-methoxyphenyl)propane-1,2-diol (9), (±)-pinoresinol (10). **Conclusion** Compounds 1—3 are new compounds, wherein compounds 1 and 2 are epimers; And compounds 9, 10 were isolated from *C. longa* root for the first time.

Key words: *Curcuma longa* L.; turmerones G; turmerones H; 11-hydroxy-bisabola-1,3(15),9-triene; (±)-pinoresinol

姜黄 *Curcuma Longa* L. 是傣族传统药食两用植物, 傣族命名为毫命^[1]。傣医用其根茎入药, 味苦、微辣、有臭气; 性平偏热; 入水、土、风塔。具有清火解毒、杀虫止痒、活血止痛、行气破瘀、调经的功效。主治“兵洞飞暖龙”(疗疮、痈、疖、脓肿), “缅白贺”(毒虫咬伤、阻伤、跌打损伤), “拢梅兰申”(风寒湿痹症、肢体关节酸痛、屈伸不利), “短旧”(腹内痉挛剧痛), “儿赶, 拢接崩短赶”(心胸胀闷、胃脘胀痛), “纳勒冒沙么”(月经失调、痛经、经闭)^[2]。本实验基于傣医对姜

黄水煎煮后服用的传统用法, 从姜黄根部热水提取部位中分离得到 10 个化合物, 运用红外、紫外、质谱、核磁共振等多种波谱技术对其进行结构分析, 最后鉴定为姜黄酮 G (turmerones G, 1)、姜黄酮 H (turmerones H, 2)、11-羟基-红没药-1,3(15),9-三烯 [11-hydroxy-bisabola-1,3(15),9-triene, 3]、香草醇 (vanillyl alcohol, 4)、甜没药姜黄醇 (bisacurone, 5)、甜没药姜黄醇 B (bisacurone B, 6)、intermedin B (7)、longpene C (8)、3-(4-羟基-3-甲氧基苯基)丙烷-1,2-二醇 [3-(4-hydroxy-3-

收稿日期: 2023-02-07

基金项目: 国家自然科学基金委员会地区基金项目 (82060785); 云南省科技厅基础研究计划中医联合项目面上项目 (202001AZ070001-027);

云南省科技厅科技计划项目-基础研究专项 (202301AT070257)

作者简介: 张莹莹 (1990—), 女, 在读硕士研究生, 研究方向为民族药活性成分的作用机制。E-mail: 349621801@qq.com

*通信作者: 陈 佳 (1984—), 女, 博士, 副教授, 从事民族药药理研究。E-mail: chenjia@ynutcm.edu.cn

methoxyphenyl) propane-1,2-diol, **9**]、(±)-松脂醇[(±)-pinoresinol, **10**]。其中, 化合物 **1~3** 为新

化合物(图1), 化合物**1**和**2**互为差向异构体; 化合物**9**和**10**为首次从姜黄中分离得到。

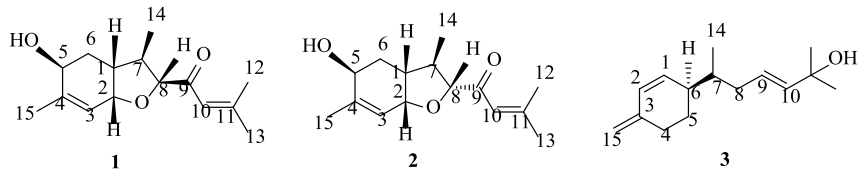


图1 化合物**1~3**的化学结构
Fig. 1 Structure of compounds **1~3**

1 仪器与材料

Bruker DRX-500MHz 核磁共振光谱仪(德国Bruker公司); LC-IT-TOF质谱仪(日本岛津公司); Waters 2535型半制备液相色谱仪(美国Waters公司); Autopol VI旋光仪(美国Rudolph公司); ZF-1型三用紫外仪(上海精科实业有限公司); Nicolet iS10红外光谱仪(美国Thermo Fisher公司); 安捷伦1260制备型HPLC(ZORBAXSB 250 mm×21.2 mm, 5 μm); 柱色谱硅胶(80~100、200~300目, 青岛康业鑫药用硅胶干燥剂有限公司); GF₂₅₄硅胶板(临沂市海洋化工有限公司); LX-T28大孔树脂(西安蓝晓科技新材料股份有限公司); Sephadex LH-20(瑞典Amersham Biosciences公司); MCI柱(GEL CHP20P、日本Mitsubishi Chemical Corporation); 色谱级甲醇(上海星可高纯溶剂有限公司); 所用正丁醇、石油醚、丙酮等化学试剂均为分析纯(国药集团化学试剂有限公司)。

姜黄于2020年10月采集于云南省保山地区, 经云南中医药大学中药学院郑国伟研究员鉴定为姜黄 *C. Longa L.*, 凭证标本(YNU D20201120)保存于云南省傣医药与彝医药重点实验室。

2 提取与分离

姜黄干燥根30 kg粉碎后, 经热水回流提取(60 L)3次, 每次4 h。合并滤液减压蒸馏得浸膏2.5 kg。该浸膏用8 L的水溶解, 再加8 L正丁醇萃取为正丁醇相和水相, 重复上述操作3次。合并正丁醇萃取相, 减压蒸馏得浸膏约1.0 kg。该浸膏用80 °C热水溶解后利用大孔树脂柱色谱分离, 以甲醇-水(0:100→15:85→30:70→45:55→60:40→75:25→90:10→100:0)梯度洗脱, 采用硅胶薄层色谱对各组分进行检测, 合并相同部分得8个组分(Fr. 1~8)。

Fr. 1经硅胶柱色谱(石油醚-丙酮7:1)洗脱, 合并相同部分再经MCI色谱(甲醇-水60:40)洗

脱和半制备HPLC色谱(甲醇-水76:24)纯化, 得到化合物**3**(20 mg, *t_R*=7.8 min)。Fr. 2经大孔树脂柱色谱(甲醇-水15:85→30:70)梯度洗脱, 合并相同部分再经MCI(甲醇-水40:60)洗脱, 再经半制备HPLC色谱(甲醇-水28:72)分离和Sephadex LH-20凝胶(甲醇)柱纯化, 得到化合物**4**(8 mg, *t_R*=4.0 min)、**9**(11 mg, *t_R*=4.5 min)。Fr. 3经大孔树脂柱色谱(甲醇-水45:55)梯度洗脱, 再经硅胶柱色谱(石油醚-丙酮6:1)分离和Sephadex LH-20凝胶(甲醇)柱纯化, 得到化合物**5**(200 mg)。Fr. 4经大孔树脂柱色谱(甲醇-水60:40→75:25)梯度洗脱, 合并相同部分得到7个组份(Fr. 4-1~4-7)。Fr. 4-5经硅胶柱色谱(石油醚-丙酮100:1→50:1→20:1→10:1→5:1)梯度洗脱, 合并相同部分得到7个组分(Fr. 4-5-1~4-5-7)。Fr. 4-5-3经硅胶柱色谱(石油醚-氯仿100:1→2:1)洗脱, 合并相同部分再经半制备HPLC色谱(甲醇-水58:42)分离和Sephadex LH-20凝胶(甲醇)柱纯化, 得到化合物**2**(5 mg, *t_R*=4.8 min)、**8**(12 mg, *t_R*=5.4 min)。Fr. 4-5-6经硅胶柱色谱(石油醚-丙酮6:1)梯度洗脱, 合并相同部分再经MCI(甲醇-水40:60)洗脱, 再经硅胶柱色谱(石油醚-氯仿-甲醇50:100:1)分离和半制备HPLC色谱(甲醇-水53:47)纯化, 得到化合物**6**(198 mg, *t_R*=5.4 min)。Fr. 4-6经硅胶柱色谱(石油醚-丙酮30:1)洗脱, 合并相同部分再经硅胶柱色谱(石油醚-氯仿-甲醇50:100:1)分离和半制备HPLC色谱(甲醇-水52:48)纯化, 得到化合物**10**(10 mg, *t_R*=5.0 min)。Fr. 5经大孔树脂柱色谱(甲醇-水90:10)梯度洗脱, 合并相同部分经硅胶柱色谱(石油醚-丙酮3:1)洗脱, 再经Sephadex LH-20凝胶(甲醇)柱分离和半制备HPLC色谱(甲醇-水65:35)纯化, 得到化合物**7**(13 mg, *t_R*=6.0 min)。Fr. 6

经硅胶柱色谱(石油醚-丙酮 2:1)洗脱,合并相同部分再经MCI色谱(甲醇-水 58:42)洗脱和半制备HPLC色谱(甲醇-水 48:52)纯化,得到化合物**1**(20 mg, $t_{R}=3.7$ min)。

3 结构鉴定

化合物**1**:无色油状物; $[\alpha]_D^{20}-98^\circ$;其HR-ESI-MS在 m/z 273.146 3 [$M+Na$]⁺处显示准分子离子峰,推断分子式为 $C_{15}H_{22}O_3$,不饱和度为5,分析核磁共振图发现存在1个羰基,2个双键及2个环。IR谱图显示化合物**1**存在羰基(1682 cm^{-1})、苯环或双键(1529 、 1615 cm^{-1})和羟基(3433 cm^{-1})等特征吸收峰。UV谱图显示在242 nm处有最大吸收峰,提示化合物**1**的结构中可能存在 α,β -不饱和酮系统。化合物**1**的特征¹H-NMR表明结构中含有4个甲基 δ_H 2.17(3H, d, $J=1.0\text{ Hz}$), 1.92(3H, d, $J=1.0\text{ Hz}$), 0.95(3H, d, $J=7.5\text{ Hz}$), 1.84(3H, d, $J=1.0\text{ Hz}$), 2个烯氢质子 δ_H 5.69(1H, dq, $J=4.0, 1.5\text{ Hz}$), 6.28(1H, brs);¹³C-NMR显示4个甲基碳(δ_C 28.1, 21.1, 20.7, 15.0),3个连氧叔碳(δ_C 85.9, 74.6, 67.1),2个烯碳(δ_C 123.8, 120.9),2个双键季碳(δ_C 157.5, 139.1),1个羰基碳(δ_C 200.8)。¹H-¹H COSY谱显示,H-5与H-6 α/β 相关,H-2与H-1、H-3相关;HMBC谱显示,H₃-15与C-3、C-4、C-5相关,H-6 α/β 与C-1、C-2、C-4、C-5相关,提示C-1至C-6形成4位甲基取代的六元环(图2)。同时,¹H-¹H COSY谱显示,H-7与H-1、H-8、H₃-14相关;HMBC谱显示,H-7与C-1、C-2、C-6、C-9、C-14相关,以及H-8与C-2、C-7、C-9、C-14相关,结合不饱和度,推测C-1、2、7、8位形成7位甲基取代的五元内酯环。

因此,初步推断化合物**1**为没药烷型倍半萜化合物。

比对文献发现,化合物**1**的核磁数据(表1)与已知化合物(*1R,2S,5R,7R,8S*)-2,8-epoxy-5-hydroxybisabola-3,10-dien-9-one^[3]的数据类似,不同在于化合物**1**中H-5由双峰变为宽单峰,H-1化学位移由高场向低场移动,推断两者平面结构相同,H-5的构型有区别。分析ROESY谱图,H-5与H-6 α 、H-7、H-8与H-6 α 、H-7、H-10相关,提示H-5、H-6 α 、H-7、H-8在 α 侧;H-1与H-2、H-6 β 、H₃-14相关,提示H-1、H-2、H-6 β 、H₃-14在 β 侧(图2)。由于已知化合物的绝对构型已确定^[4],综合分析1D和2D-NMR数据,确定化合物**1**的结构如图1所示。经Scifinder检索,确定该化合物为新的没药烷型倍半萜类化合物,(*1R,2S,5S,7R,8S*)-2,8-epoxy-5-hydroxybisabola-3,10-dien-9-one,命名为姜黄酮G。

化合物**2**:无色油状物; $[\alpha]_D^{20}-41.4^\circ$;HR-ESI-MS在 m/z 273.146 3 [$M+Na$]⁺处显示准分子离子峰,推断分子式为 $C_{15}H_{22}O_3$,不饱和度为5,分析核磁共振图发现存在1个羰基、2个双键及2个环。在IR光谱中,1516、1615 cm^{-1} 处吸收带提示化合物**2**的结构中存在苯环或双键;1681 cm^{-1} 处吸收带提示化合物**2**的结构中存在羟基。在UV光谱中,在242 nm处有吸收带显示化合物**2**的结构中存在 α,β -不饱和酮系统。比较发现,化合物**2**与化合物**1**的1D和2D-NMR数据高度相似(表1),二者区别在于化合物**2**中H-7和H-8的化学位移由低场向高场移动,H₃-14的化学位移由高场向低场移动,推测H-8位置发生改变。ROESY谱图进一步证实该推测,H-8

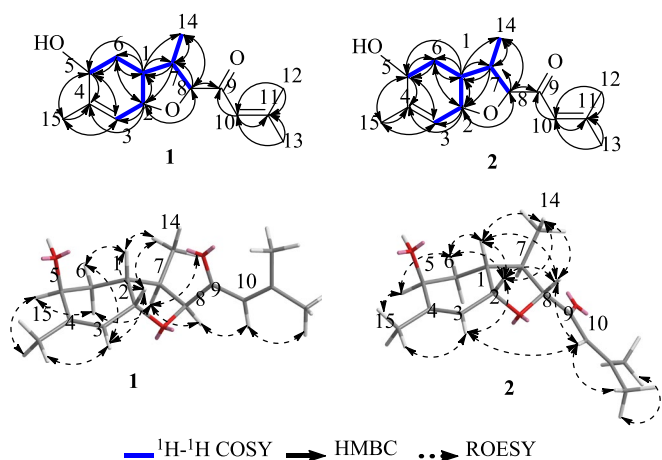


图2 化合物**1**和**2**的主要¹H-¹H COSY、HMBC和ROESY相关
Fig. 2 ¹H-¹H COSY, HMBC and ROESY correlations of compound **1** and **2**

表1 化合物1和2的核磁波谱数据 (500/125MHz, CDCl₃)
Table 1 ¹H-NMR and ¹³C-NMR data of compounds 1 and 2 (500/125MHz, CDCl₃)

| 碳位 | 1 | | 2 | |
|------------|-----------------------------------------|---------------------|----------------------------------------|---------------------|
| | δ_{H} | δ_{C} | δ_{H} | δ_{C} |
| 1 | 2.24 (1H, m) | 40.4 | 2.11 (1H, m) | 42.0 |
| 2 | 4.65 (1H, brt, $J = 8.5, 4.0$ Hz) | 74.6 | 4.43 (1H, brt, $J = 10.5, 5.5$ Hz) | 75.7 |
| 3 | 5.69 (1H, dq, $J = 4.0, 1.5$ Hz) | 123.8 | 5.66 (1H, dq, $J = 5.5, 2.5$ Hz) | 123.9 |
| 4 | | 139.1 | | 139.2 |
| 5 | 4.04 (1H, brs) | 67.1 | 4.01 (1H, brs) | 67.1 |
| 6 α | 1.79 (1H, dq, $J = 13.5, 10.0, 4.0$ Hz) | 32.7 | 1.75 (1H, dq, $J = 13.5, 6.5, 5.5$ Hz) | 32.7 |
| 6 β | 1.84 (1H, m) | | 1.89 (1H, m) | |
| 7 | 2.39 (1H, m) | 41.5 | 1.93 (1H, m) | 41.8 |
| 8 | 4.48 (1H, d, $J = 6.9$ Hz) | 85.9 | 3.81 (1H, d, $J = 8.0$ Hz) | 90.6 |
| 9 | | 200.8 | | 200.2 |
| 10 | 6.28 (1H, brs) | 120.9 | 6.38 (1H, brs) | 119.4 |
| 11 | | 157.5 | | 158.5 |
| 12 | 2.17 (3H, d, $J = 1.0$ Hz) | 21.1 | 2.16 (3H, d, $J = 1.0$ Hz) | 21.1 |
| 13 | 1.92 (3H, d, $J = 1.0$ Hz) | 28.1 | 1.91 (3H, d, $J = 1.0$ Hz) | 28.2 |
| 14 | 0.95 (3H, d, $J = 7.5$ Hz) | 15.0 | 1.18 (3H, d, $J = 6.5$ Hz) | 17.6 |
| 15 | 1.84 (3H, d, $J = 1.0$ Hz) | 20.7 | 1.84 (3H, d, $J = 2.5$ Hz) | 20.2 |

与 H-1、H-2、H-10、H₃-14 相关信号，以及 H-1 与 H-2、H-6 β 、H-8、H₃-14 相关信号，提示 H-1、H-2、H-8、H₃-14 位于 β 侧。H-7 与 H-5、H-6 α 相关信号，提示 H-5、H-6 α 、H-7 位于 α 侧。综上所述，化合物 2 与化合物 1 互为差向异构体（图 1）。经 scifinder 检索，确定该化合物为新的没药烷型倍半萜类化合物 (1R,2S,5S,7R,8R)-2,8-epoxy-5-hydroxybisabol-3,10-dien-9-one，命名为姜黄酮 H。

化合物 3：无色油状物； $[\alpha]_D^{20} 12.1^\circ$ ；其 HR-ESI-MS 在 *m/z* 243.171 8 [M+Na]⁺ 处显示准分子离子峰，结合 ¹³C-NMR 谱图分析，确定分子式为 C₁₅H₂₄O，不饱和度为 4，分析核磁谱图发现存在 3 个双键及 1 个环。UV $\lambda_{\text{max}}^{\text{MeOH}}$ (nm): 203 (0.22)、220 (0.16)；IR $\nu_{\text{max}}^{\text{KBr}}$ (cm⁻¹): 3382 (羟基)、1635 (双键)。¹H-NMR 图谱（表 2）中显示化合物 3 结构中含有 4 个烯烃质子信号 δ_{H} 6.15 (1H, dd, $J = 10.0, 2.5$ Hz), 5.68 (1H, brd, $J = 10.0$ Hz), 5.60 (1H, d, $J = 15.0$ Hz), 5.58 (1H, dd, $J = 15.0, 9.5$ Hz); 3 个甲基信号 δ_{H} 1.31 (3H, brs), 1.31 (3H, brs), 0.83 (3H, d, $J = 7.0$ Hz); 1 个末端双键 δ_{H} 4.76 (1H, s) 和 4.76 (1H, s)。¹³C-NMR 图谱（表 2）显示 2 组双键碳 δ_{C} 139.3、134.8、129.6、125.9, 1 个双键季碳 δ_{C} 110.7, 1 个连氧季碳 δ_{C} 70.7。

表2 化合物3的核磁波谱数据 (500/125 MHz, CDCl₃)Table 2 ¹H-NMR and ¹³C-NMR data of compound 3 (500/125 MHz, CDCl₃)

| 碳位 | δ_{H} | δ_{C} |
|----|-----------------------------------|---------------------|
| 1 | 5.68 (1H, brd, $J = 10.0$ Hz) | 134.8 |
| 2 | 6.15 (1H, dd, $J = 10.0, 2.5$ Hz) | 129.6 |
| 3 | | 143.6 |
| 4a | 2.44 (1H, dt, $J = 14.5, 3.5$ Hz) | 30.2 |
| 4b | 2.27 (1H, m) | |
| 5a | 1.71 (1H, m) | 24.3 |
| 5b | 1.39 (1H, m) | |
| 6 | 2.22 (1H, m) | 40.0 |
| 7 | 1.62 (1H, m) | 37.2 |
| 8a | 2.10 (1H, dt, $J = 14.0, 6.0$ Hz) | 36.9 |
| 8b | 1.90 (1H, dt, $J = 14.0, 6.0$ Hz) | |
| 9 | 5.58 (1H, dd, $J = 15.0, 9.5$ Hz) | 125.9 |
| 10 | 5.60 (1H, d, $J = 15.0$ Hz) | 139.3 |
| 11 | | 70.7 |
| 12 | 1.31 (3H, brs) | 29.9 |
| 13 | 1.31 (3H, brs) | |
| 14 | 0.83 (3H, d, $J = 7.0$ Hz) | 15.8 |
| 15 | 4.76 (1H, s), 4.74 (1H, s) | 110.1 |

¹H-¹H COSY 谱显示, H-1 与 H-2 相关, H-4a/b 与 H-5a/b、H-6 相关; HMBC 谱显示, H-1 与 C-3、C-5 相关, H-2 与 C-3、C-4、C-6、C-15 相关, H-5a/b 与 C-1、C-6 相关, H-15 与 C-2、C-4 相关, 推测存在环己烯酮片段(图 3)。¹H-¹H COSY 谱显示, H-7 与 H-6、H-8a/b、H₃-14 相关, H-8a/b 与 H-9、H-10 相关; HMBC 谱显示, H-7 与 C-1、C-5、C-6、C-8、C-9、C-14 相关, H-8a/b 与 C-7、C-9、C-10、C-14 相关, H-10 与 C-8、C-9、C-11、C-12、C-13 相关, 以及 H-12 和 H-13 与 C-10、C-11 相关, H₃-14 与 C-6、C-7、C-8 相关, 推测存在图 3 所示侧链; 且 H-9 与 H-10 的偶合常数 $J = 15.0$ Hz, 提示 9-10 位的双键构型为反式。H₃-14 与 C-6 的 HMBC 相关, 推测环己烯酮片段的 C-6 位与侧链片段的 C-7 位相连。对比文献发现, 化合物 3 的核磁数据与已知化合物 4-hydroxy-11-hydroperoxy-bisabola-1,3(15),9-triene^[5]的数据相似, 不同之处在于化合物 3 中 4 位存在 2 个氢信号(δ_H 2.44, 2.27; δ_C 30.2), 无-OH 取代; C-11 位连氧碳信号(δ_C 70.7)为典型羟基信号值, 推断 11 位有-OH 取代(图 3)。进一步分析 1D 和 2D NMR 数据, ROESY 谱中, H-1 与 H-2 相关, H-5a 与 H-6 相关, H-5b 和 H-14 相关, H-5a/b 与 H-4a/b 相关, H-6 与 H-8a 相关, H-9 与 H₃-12 和 H₃-13 相关, H-10 与 H-8b 相关, 提示侧链取代位于环己烯酮平面上方, 推测化合物 3 的结构如图 1 所示。经 Scifinder 检索, 确定该化合物为新的没药烷型倍半萜类化合物, 命名为 11-羟基-红没药-1,3(15),9-三烯。

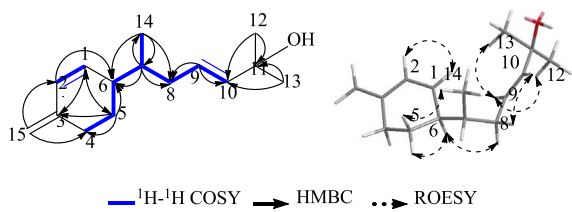


图 3 化合物 3 的主要 ¹H-¹H COSY、HMBC 和 ROESY 相关
Fig. 3 ¹H-¹H COSY, HMBC and ROESY correlations of compound 3

化合物 4: 黄色油状物。EI-MS m/z : 154 [M-H]⁻; 分子式为 $C_8H_{10}O_3$ 。¹H-NMR (500 MHz, CD₃OD) δ : 6.90 (1H, d, $J = 1.8$ Hz, H-2), 6.76 (1H, dd, $J = 2.0, 9.9$ Hz, H-6), 6.69 (1H, d, $J = 9.9$ Hz, H-5), 4.48 (2H, s, H-1'), 3.85 (3H, s, 3-OCH₃); ¹³C-NMR (125 MHz, CD₃OD) δ : 133.3 (C-1), 110.2 (C-2), 146.7

(C-3), 145.3 (C-4), 115.6 (C-5), 121.1 (C-6), 56.4 (3-OCH₃), 65.3 (C-1')。以上波谱数据与文献报道基本一致^[6], 故鉴定化合物 4 为香草醇。

化合物 5: 无色油状物。EI-MS m/z : 252 [M+H]⁺; 分子式为 $C_{15}H_{24}O_3$ 。¹H-NMR (500 MHz, CDCl₃) δ : 6.07 (1H, d, $J = 1.3$ Hz, H-10), 5.65 (2H, s, H-2, 3), 3.79 (1H, brd, $J = 5.8$ Hz, H-5), 2.16~2.37 (4H, m, H-6, 8), 2.14 (3H, d, $J = 1.2$ Hz, H-12), 1.88 (3H, d, $J = 1.3$ Hz, H-13), 1.82 (1H, m, H-7), 1.61 (1H, d, $J = 17.2$ Hz, H-1), 1.30 (3H, s, H-15), 0.91 (3H, d, $J = 6.7$ Hz, H-14)。¹³C-NMR (125 MHz, CDCl₃) δ : 36.5 (C-1), 130.8 (C-2), 132.3 (C-3), 70.5 (C-4), 73.4 (C-5), 28.7 (C-6), 33.1 (C-7), 48.7 (C-8), 200.6 (C-9), 124.0 (C-10), 155.7 (C-11), 20.8 (C-12), 27.8 (C-13), 16.9 (C-14), 27.7 (C-15)。以上数据与文献报道基本一致^[7], 故鉴定化合物 5 为甜没药姜黄酮。

化合物 6: 无色油状物。EI-MS m/z : 234 [M+H]⁺; 分子式为 $C_{15}H_{24}O_3$ 。¹H-NMR (500 MHz, CDCl₃) δ : 6.06 (1H, m, H-10), 5.67 (1H, dd, $J = 9.9, 2.3$ Hz, H-3), 5.63 (1H, dd, $J = 9.9, 1.1$ Hz, H-2), 3.56 (1H, dd, $J = 11.9, 3.6$ Hz, H-5), 2.14 (3H, d, $J = 1.1$ Hz, H-12), 1.89 (3H, d, $J = 1.1$ Hz, H-13), 1.33 (3H, s, H-15), 0.87 (3H, d, $J = 6.6$ Hz, H-14)。¹³C-NMR (125 MHz, CDCl₃) δ : 40.9 (C-1), 132.7 (C-2), 133.7 (C-3), 69.0 (C-4), 73.5 (C-5), 29.4 (C-6), 32.8 (C-7), 48.5 (C-8), 200.3 (C-9), 124.7 (C-10), 155.3 (C-11), 20.7 (C-12), 27.6 (C-13), 16.3 (C-14), 26.0 (C-15)。以上数据与文献的基本一致^[8], 故鉴定化合物 6 为甜没药姜黄酮 B。

化合物 7: 无色油状物。EI-MS m/z : 235 [M+H]⁺; 分子式为 $C_{15}H_{23}O_2$ 。¹H-NMR (500 MHz, CDCl₃) δ : 6.12 (1H, d, $J = 12.5$ Hz, H-2), 6.06 (1H, s, H-10), 5.77 (1H, d, $J = 12.5$ Hz, H-3), 5.06 (1H, s, H-15b), 4.96 (1H, s, H-15a), 4.43 (1H, brs, 5-OH), 2.14 (3H, s, H-12), 1.88 (3H, s, H-13), 0.90 (3H, d, $J = 7.2$ Hz, H-14); ¹³C-NMR (125 MHz, CDCl₃) δ : 33.7 (C-1), 133.7 (C-2), 127.4 (C-3), 145.2 (C-4), 68.7 (C-5), 32.3 (C-6), 36.2 (C-7), 48.5 (C-8), 200.6 (C-9), 123.8 (C-10), 155.6 (C-11), 20.7 (C-12), 27.7 (C-13), 16.3 (C-14), 113.6 (C-15)。以上数据与文献报道基本一致^[9], 故鉴定化合物 7 为 intermedin B。

化合物 8: 无色油状物。EI-MS m/z : 273 [M+Na]⁺; 分子式为 $C_{15}H_{22}O_3$ 。¹H-NMR (500 MHz,

CDCl_3) δ : 6.03 (1H, d, J = 1.3 Hz, H-10), 5.63 (1H, d, J = 1.5 Hz, H-3), 4.48 (1H, t, J = 5.6 Hz, H-5), 2.70 (1H, m, H-7), 2.49 (1H, m, H-1), 2.37 (1H, dd, J = 19.2, 7.7 Hz, H-8a), 2.29 (1H, dd, J = 19.2, 10.1 Hz, H-8b), 2.12 (1H, m, H-6a), 2.07 (3H, s, H-12), 2.01 (1H, m, H-6b), 1.93 (3H, s, H-15), 1.84 (3H, s, H-13), 0.83 (3H, d, J = 8.5 Hz, H-14); $^{13}\text{C-NMR}$ (125 MHz, CDCl_3) δ : 45.8 (C-1), 200.9 (C-2), 126.6 (C-3), 159.9 (C-4), 70.0 (C-5), 32.4 (C-6), 27.8 (C-7), 48.5 (C-8), 200.3 (C-9), 124.7 (C-10), 155.3 (C-11), 20.7 (C-12), 27.6 (C-13), 16.3 (C-14), 20.8 (C-15)。以上数据与文献的基本一致^[10], 故鉴定化合物**8**为longpene C。

化合物**9**: 无色油状物。EI-MS m/z : 198 [M+H]⁺; 分子式为 $\text{C}_{10}\text{H}_{14}\text{O}_4$ 。 $^1\text{H-NMR}$ (500 MHz, CD_3OD) δ : 7.30 (1H, s, 4-OH), 6.86 (1H, d, J = 1.9 Hz, H-2), 6.72 (1H, d, J = 8.0 Hz, H-5), 6.67 (1H, dd, J = 1.9, 8.0 Hz, H-6), 3.81 (3H, s, 3-OCH₃), 3.78 (1H, m, H-2'), 3.48 (1H, dd, J = 4.3, 10.8 Hz, H-1'b), 3.40 (1H, dd, J = 6.4, 10.8 Hz, H-1'a), 2.72 (1H, dd, J = 5.6, 13.7 Hz, H-3'b), 2.60 (1H, dd, J = 7.4, 13.7 Hz, H-3'a); $^{13}\text{C-NMR}$ (125 MHz, CD_3OD) δ : 131.5 (C-1), 114.1 (C-2), 148.7 (C-3), 145.7 (C-4), 116.0 (C-5), 122.8 (C-6), 56.3 (3-OCH₃), 66.5 (C-1'), 74.6 (C-2'), 40.4 (C-3')。以上数据与文献报道基本一致^[11], 故鉴定化合物**9**为3-(4-羟基-3-甲氧基苯基)丙烷-1,2-二醇。

化合物**10**: 无色油状物。EI-MS m/z : 357 [M-H]⁻; $[\alpha]_D^{20} 0^\circ$; 分子式为 $\text{C}_{20}\text{H}_{22}\text{O}_6$ 。 $^1\text{H-NMR}$ (500 MHz, CDCl_3) δ : 6.89 (2H, d, J = 2.5 Hz, H-2, 2'), 6.82 (2H, dd, J = 8.2, 1.9 Hz, H-6, 6'), 6.78 (2H, d, J = 8.2 Hz, H-5, 5'), 4.74 (2H, d, J = 4.0 Hz, H-7, 7'), 4.25 (2H, m, Ha-9a, 9'a), 3.91 (6H, s, 3, 3'-OCH₃), 3.89 (2H, m, H-9b, 9'b), 3.10 (2H, m, H-8, 8'); $^{13}\text{C-NMR}$ (125 MHz, CDCl_3) δ : 133.9 (C-1, 1'), 110.6 (C-2, 2'), 148.7 (C-3, 3'), 146.2 (C-4, 4'), 114.9 (C-5, 5'), 118.9 (C-6, 6'), 86.8 (C-7, 7'), 55.4 (C-8, 8'), 72.6 (C-9, 9'), 56.5 (3, 3'-OCH₃)。以上数据与文献报道基本一致^[12], 故鉴定化合物**10**为(±)-松脂醇。

4 讨论

本实验基于傣医对姜黄的传统用法, 从姜黄热水提取部位分离得到7个倍半萜(其中3个新化合物)、2个酚类、1个木脂素类化合物。近期研究表明, 姜黄热水提取部位中的没药烷型倍半萜类、粗多糖、姜黄素类等化合物具有抑制肌肉萎缩^[13], 抗

氧化、抗炎^[14-15], 促进角膜伤口愈合^[16]; 恢复和保护心脏功能^[17], 预防非酒精性脂肪性肝^[18]、抗抑郁^[19]等作用。本实验为进一步研究姜黄热水提取物的生物活性提供物质基础。

利益冲突 所有作者均声明不存在利益冲突

参考文献

- 马小军, 张丽霞, 林艳芳. 中国傣药志(上卷) [M]. 北京: 人民卫生出版社, 2017: 447.
- 郑进, 张超, 钱子刚, 主编. 云南中医药大学编. 云南民族药大辞典 [M]. 上海: 上海科学技术出版社, 2019: 1852-1854.
- Li W, Feng J T, Xiao Y S, et al. Three novel terpenoids from the rhizomes of *Curcuma longa* [J]. *J Asian Nat Prod Res*, 2009, 11(6): 569-575.
- Cheng X L, Li H X, Wu P, et al. Two new bisabolane-type sesquiterpenoids from the cooking liquid of *Curcuma longa* rhizomes [J]. *Phytochem Lett*, 2019, 29: 169-172.
- Sy L K, Brown G D. Oxygenated bisabolanes from *Alpinia densibracteata* [J]. *Phytochemistry*, 1997, 45(3): 537-544.
- 管惠娟, 张雪, 屠凤娟, 等. 铁皮石斛化学成分的研究 [J]. 中草药, 2009, 40(12): 1873-1876.
- Uehara S I, Yasuda I, Takeya K, et al. New bisabolane sesquiterpenoids from the rhizomes of *Curcuma xanthorrhiza* (Zingiberaceae) [J]. *Chem Pharm Bull*, 1989, 37(1): 237-240.
- Wang Y L, Wang L Y, Zhu X Y, et al. Choleretic activity of turmeric and its active ingredients [J]. *J Food Sci*, 2016, 81(7): H1800-H1806.
- Li H M, Lei C, Luo Y M, et al. Intermedins A and B; new metabolites from *Schisandra propinqua* var. *intermedia* [J]. *Arch Pharm Res*, 2008, 31(6): 684-687.
- Xu J, Ji F F, Kang J, et al. Absolute configurations and NO inhibitory activities of terpenoids from *Curcuma longa* [J]. *J Agric Food Chem*, 2015, 63(24): 5805-5812.
- Kikuzaki H, Hara S, Kawai Y, et al. Antioxidative phenylpropanoids from berries of *Pimenta dioica* [J]. *Phytochemistry*, 1999, 52(7): 1307-1312.
- In S J, Seo K H, Song N Y, et al. Lignans and neolignans from the stems of *Vibrunum erosum* and their neuroprotective and anti-inflammatory activity [J]. *Arch Pharm Res*, 2015, 38(1): 26-34.
- Kim S, Kim K, Park J, et al. *Curcuma longa* L. water extract improves dexamethasone-induced sarcopenia by modulating the muscle-related gene and oxidative stress

- in mice [J]. *Antioxidants (Basel)*, 2021, 10(7): 1000-1011.
- [14] Aggarwal B B, Yuan W, Li S Y, et al. Curcumin-free turmeric exhibits anti-inflammatory and anticancer activities: Identification of novel components of turmeric [J]. *Mol Nutr Food Res*, 2013, 57(9): 1529-1542.
- [15] 张晓梅, 赵玉涛, 王菊美, 等. 姜黄素对结直肠癌细胞迁移、侵袭和上皮间质转化的影响及作用机制 [J]. 世界中医药, 2021, 16(17): 2596-2599.
- [16] Stati G, Sancilio S, Basile M, et al. *Curcuma longa* aqueous extract: A potential solution for the prevention of corneal scarring as a result of pterygium surgical excision (Review) [J]. *Int J Mol Med*, 2020, 46(6): 1951-1957.
- [17] Mohanty I, Arya D S, Gupta S K. Effect of *Curcuma longa* and *Ocimum sanctum* on myocardial apoptosis in experimentally induced myocardial ischemic-reperfusion injury [J]. *BMC Complement Altern Med*, 2006, 6: 3.
- [18] Mun J, Kim S, Yoon H G, et al. Water extract of *Curcuma longa* L. ameliorates non-alcoholic fatty liver disease [J]. *Nutrients*, 2019, 11(10): 2536.
- [19] Yu Z F, Kong L D, Chen Y. Antidepressant activity of aqueous extracts of *Curcuma longa* in mice [J]. *J Ethnopharmacol*, 2002, 83(1/2): 161-165.

[责任编辑 王文倩]

• 封面图片介绍 •

萍蓬草



萍蓬草根状茎食用，又供药用，有强壮、净血的作用；以全草、种子、根茎入药。全草滋阴清热，主治劳伤虚损、阴虚发热、盗汗、外敷刀伤。种子、根茎健脾胃、活血调经。种子主治脾虚食少、月经不调；根茎主治脾虚食入难消，阴虚咳嗽、盗汗，血瘀月经不调、痛经及跌打损伤。

萍蓬草 *Nuphar pumila* (Timm) DC. 是睡莲科萍蓬草属植物，多年水生草本；根状茎直径 2~3 cm。叶纸质，宽卵形或卵形，少数椭圆形，长 6~17 cm，宽 6~12 cm，先端圆钝，基部具弯缺，心形，裂片远离，圆钝，上面光亮，无毛，下面密生柔毛，侧脉羽状，几次二歧分枝；叶柄长 20~50 cm，有柔毛。花直径 3~4 cm；花梗长 40~50 cm，有柔毛；萼片黄色，外面中央绿色，矩圆形或椭圆形，长 1~2 cm；花瓣窄楔形，长 5~7 mm，先端微凹；柱头盘常 10 浅裂，淡黄色或带红色。浆果卵形，长约 3 cm；种子矩圆形，长 5 mm，褐色。花期 5~7 月，果期 7~9 月。

(本封面图片由中国科学院华南植物园 王彤 提供)